

- [7] Воронцов М.А., Матвеев А.К., Сиво-
конон В.П. Сб.: Компьютерная оптика, М., 1987, № 1,
с. 74–78.
- [8] Баскаков О.И., Епишин В.А. У1 Всесоюзный
симпозиум по дифракции и распространению волн. Краткие
тексты докладов, кн. 2. Москва–Ереван, 1973, с. 256–260.
- [9] Бережной В.Л., Епишин В.А., Кононенко-
ко В.И. и др. – Препринт ХФТИ АН УССР № 82–48, Харь-
ков, 1982. 56 с.
- [10] Казанцев Ю.Н., Харлашкин О.А. – Радио-
техника и электроника, 1984, т. 29, № 8, с. 1441–1450.
- [11] Епишин В.А., Маслов В.А., Рябых В.Н.
и др. – Радиотехника и электроника, 1988, т. 33, № 4,
с. 700–705.
- [12] Коряковский А.А., Марченко В.М., Про-
хоров А.М. Дифракционная теория метода Тальбот–ин-
терферометрии и диагностика широкоапertureных волновых
фронтов. Труды ИОФАН СССР, Наука, 1987, т. 7, с. 33–91.
- [13] Гудмен Д. Введение в фурье–оптику. М.: Мир, 1970.
364 с.

Харьковский
государственный университет

Поступило в Редакцию
11 октября 1988 г.

Письма в ЖТФ, том 14, вып. 24

26 декабря 1988 г.

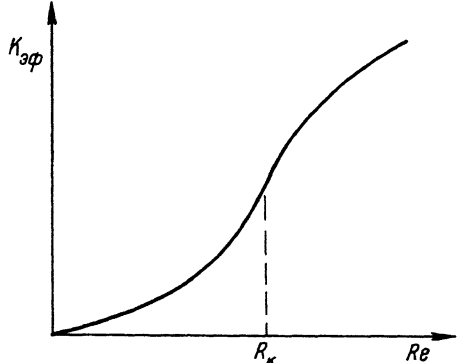
**ЗАВИСИМОСТЬ КОЭФФИЦИЕНТА
ЭФФЕКТИВНОЙ ДИФФУЗИИ ТЕЙЛОРА
ОТ ЧИСЛА РЕЙНОЛЬДСА**

А.М. Стамболцян

С помощью полуэмпирической теории осредненного стационарного турбулентного течения Пуазеля исследуется эффективный коэффициент диффузии Тейлора $K_{\text{эфф}}$. Полученное в работе выражение для $K_{\text{эфф}}$ применимо при любых числах Рейнольдса. Для ламинарного потока и в области развитой турбулентности оно согласуется с классическими результатами Тейлора.

Эффективная диффузия Тейлора – это процесс продольного рассеяния примеси в сдвиговом потоке, обусловленный взаимодействием поперечной диффузии и продольного конвективного переноса. Дж. Тейлором [1, 2] были проведены две серии экспериментов по продольной диффузии пассивной примеси в прямых длинных горизонтальных трубах с ламинарным и развитым турбулентным потоками. При этом были найдены следующие закономерности, проявляющиеся как в ламинарных, так и в турбулентных потоках: а) на достаточно больших расстояниях от места введения примеси функция распределения

Зависимости $K_{\text{эф}}$ от числа Рейнольдса. При $Re \gg R_k$ она близка к линейной, т.к. в режиме развитой турбулентности $Re \sim R^* \ln R^*$ [5].



примеси вдоль потока принимает форму, близкую к гауссовой; б) область, соответствующая максимальной концентрации примеси, движется со скоростью, равной средней скорости потока; в) диффузия примеси в продольном направлении происходит с коэффициентом $K_{\text{эф}}$, во много раз превышающим коэффициент радиальной диффузии. В теоретическом анализе, исходя из уравнения молекулярной диффузии и полуэмпирической гипотезы о пропорциональности потока примеси градиенту осредненной концентрации, Тейлор для коэффициента продольного рассеяния получил [1-3]:

$$K_{\text{эф}} = 2a^2 \int_0^1 \frac{d\bar{r}}{r D(\bar{r})} \left[\int_{\bar{r}}^1 (\mu(\bar{r}') - \mu_{cp}) \bar{r}' d\bar{r}' \right]^2, \quad (1)$$

где a – радиус трубы, $\bar{r} \equiv \frac{r}{a}$, $D(\bar{r})$ – радиальный коэффициент диффузии, $\mu(\bar{r})$ – профиль скорости потока, $\mu_{cp} = 2 \int_0^1 \mu(\bar{r}) \bar{r} d\bar{r}$. Для ламинарного потока $\mu(\bar{r})$ – профиль Пуазейля, $D(\bar{r}) = D$ – коэффициент молекулярной диффузии и

$$K_{\text{эф}} = \frac{a^2 \mu_{cp}^2}{48 D}, \quad (2)$$

что хорошо подтвердилось экспериментально [1, 2].

В турбулентном случае Тейлор воспользовался эмпирически заданным профилем осредненной скорости, а $D(\bar{r})$ находил, используя аналогию Рейнольдса, согласно которой процессы турбулентного переноса массы и импульса аналогичны [2, 3]. Численное интегрирование дало:

$$K_{\text{эф}} = 10.1 a \sigma^*, \quad (3)$$

где σ^* – динамическая скорость.

В таблице приведены экспериментальные данные для турбулентных потоков. В последней строке – результат для шероховатой трубы. Ниже приведен результат расчета $K_{\text{эф}}$ с помощью аналитического выражения для профиля осредненной скорости, полученного в [4, 5]. В нем учитывается ламинарный подслой толщиной $a\delta^*$. Однако можно показать, что "вклад" ламинарного подслоя в $K_{\text{эф}}$ порядка δ^{*3} ; ввиду малости δ^* им можно пренебречь и с достаточ-

Экспериментальные результаты, полученные Тейлором
в Кавендишской лаборатории. X – длина трубы;
диаметр во всех случаях – 0.9 см

X [см]	Re	u_{cp} [см/с]	$\frac{K_{\text{эф}}}{av^*}$
1631	$1.2 \cdot 10^4$	136	12.8
1631	$1.9 \cdot 10^4$	222	10.0
322	$1.9 \cdot 10^4$	222	11.6
245	$1.3 \cdot 10^4$	146	10.5

ной точностью подставлять в (1) только турбулентную часть профиля скорости:

$$u_T(\bar{r}) = v^* R_{kp}^o \ln \left(1 + \frac{R^*}{2R_{kp}^o} (1 - \bar{r}^2) \right). \quad (4)$$

Здесь $\frac{1}{R_{kp}^o} = \alpha \frac{Re - R_k}{R} \theta(Re - R_k)$, α -постоянная Кармана, (5)

R_k – критическое число Рейнольдса, $\theta()$ – функция Хевисайда,
 $R^* = \frac{\alpha v^*}{\nu}$. Коэффициент радиальной диффузии задан также исходя из аналогии Рейнольдса, но в несколько уточненной формулировке (см. [6]):

$$D(\bar{r}) = \frac{v_T}{\tilde{\sigma}_T} \equiv \frac{v}{\tilde{\sigma}_T} \left[1 + \frac{R^*}{2R_{kp}^o} (1 - \bar{r}^2) \right], \quad (6)$$

$\tilde{\sigma}_T$ – турбулентное число Прандтля–Шмидта.

После интегрирования (1) с (4) и (6) получено:

$$K_{\text{эф}} = \frac{\alpha^2 \tilde{\sigma}_T}{4\nu} (v^* R_{kp}^o)^2 \frac{\beta}{(1-\beta)^2} \left[\left(\frac{\beta}{1-\beta} + \ln(1-\beta) \right) \ln^2 \beta - \frac{\beta^2}{(1-\beta)^2} \ln^3 \beta + \right. \\ \left. + 2\beta + 2\ln(\beta) Li_2(\beta) - 2Li_3(\beta) + 2Li_3(1) - 2 \right], \quad \beta \equiv \frac{R^*}{2R_{kp}^o + R^*}. \quad (7)$$

В режиме развитой турбулентности $\frac{2R_{kp}^o}{R^*} \ll 1$ (см. [4, 5]). Разлагая (7) в ряд по $\frac{2R_{kp}^o}{R^*}$, имеем:

$$K_{\text{эф}} \approx 0.202 \tilde{\sigma}_T (R_{kp}^o)^3 \alpha v^*. \quad (8)$$

Из (8) и (5) находим, что экспериментальным данным (1-я и 2-я строка в таблице) удовлетворяют $G_r \approx 2.2$ и $R_k = 2188$. В пределе $Re \rightarrow \infty$

$$K_{\text{эф}} \rightarrow 0.202 G_r^{-3} \alpha v^* \quad (9)$$

С помощью (8) можно качественно объяснить четвертый результат в таблице. Для этого в (8) введем множитель $f(X) = 1.2 - 1.2 \cdot 10^{-4} X$, который найден из первых трех. Тогда для R_k получим $R_{k\text{шер}} \approx 1099$, согласующееся с тем, что для шероховатой поверхности R_k меньше, чем для гладкой.

В области перехода от ламинарного течения к турбулентному имеем малый параметр $R^*/2R_{kp}^o \ll 1$; оставляя в разложении (7) два первых члена, получим:

$$K_{\text{эф}} \approx \frac{\alpha^2 u_{cp}^2}{48D} \left(1 - \frac{5}{6} \frac{R^*}{R_{kp}^o} \right). \quad (10)$$

Для ламинарного потока из (10) и (5) следует тейлоровский результат. Из (10) видно, что с переходом в турбулентный режим рост $K_{\text{эф}}$ уменьшается, и при одинаковой средней скорости коэффициент продольной диффузии примеси в ламинарном потоке больше, чем в турбулентном. Это в определенном смысле говорит в пользу того, что турбулентное движение более организовано, чем ламинарное [5].

В заключение автор считает своим приятным долгом выразить благодарность профессору Ю.Л. Климонтовичу за обсуждение результатов и поддержку в работе.

Л и т е р а т у р а

- [1] Taylor G.I. – Proc. Roy. Soc., 1953, A219, N 1137, p. 186–203.
- [2] Taylor G.I. – Proc. Roy. Soc., 1954, A223, N 1157, p. 446–468.
- [3] Монин А.С., Яглом А.М. Статистическая гидромеханика. М.: Наука, 1965, т. 1, 639 с.
- [4] Климонтович Ю.Л. – Письма в ЖТФ, 1984, т. 10, в. 6, с. 326–330.
- [5] Климонтович Ю.Л. – ЖТФ, 1984, т. 54, в. 3, с. 440–449.
- [6] Роди В. Модели турбулентности окружающей среды. В сб.: Методы расчета турбулентных течений. М.: Мир, 1984, с. 227–322.

Московский государственный
университет им. М.В. Ломоносова

Поступило в Редакцию
28 октября 1988 г.